

8 - 4 地殻活動総合観測線最近 1 年 / 近畿の 10 年の観測結果

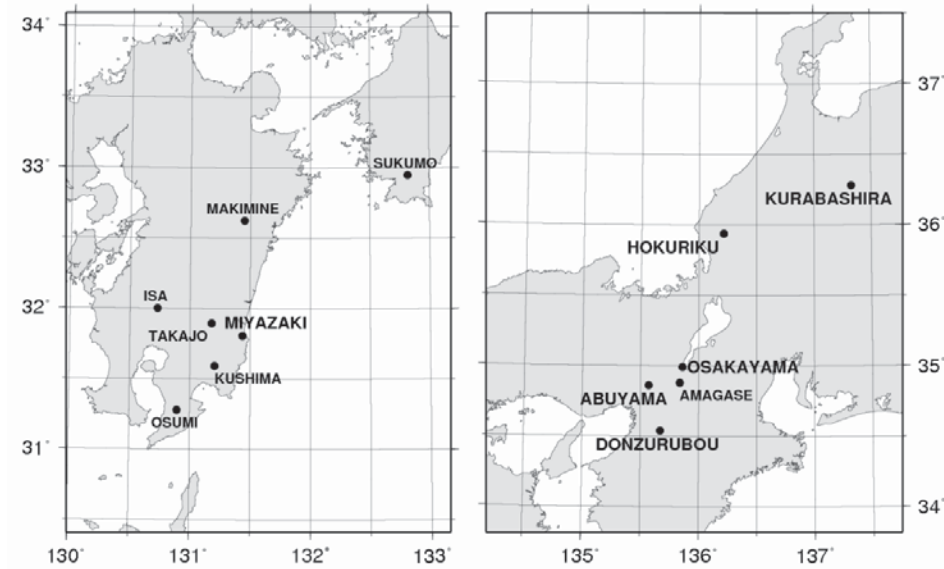
Continuous Observation of Crustal Deformations at Observation Networks in Central Kinki and Southeast Kyushu District.

京都大学防災研究所附属地震予知研究センター
Reserch Center for Earthquake Prediction,
Disaster Prevention Research Institute, Kyoto University

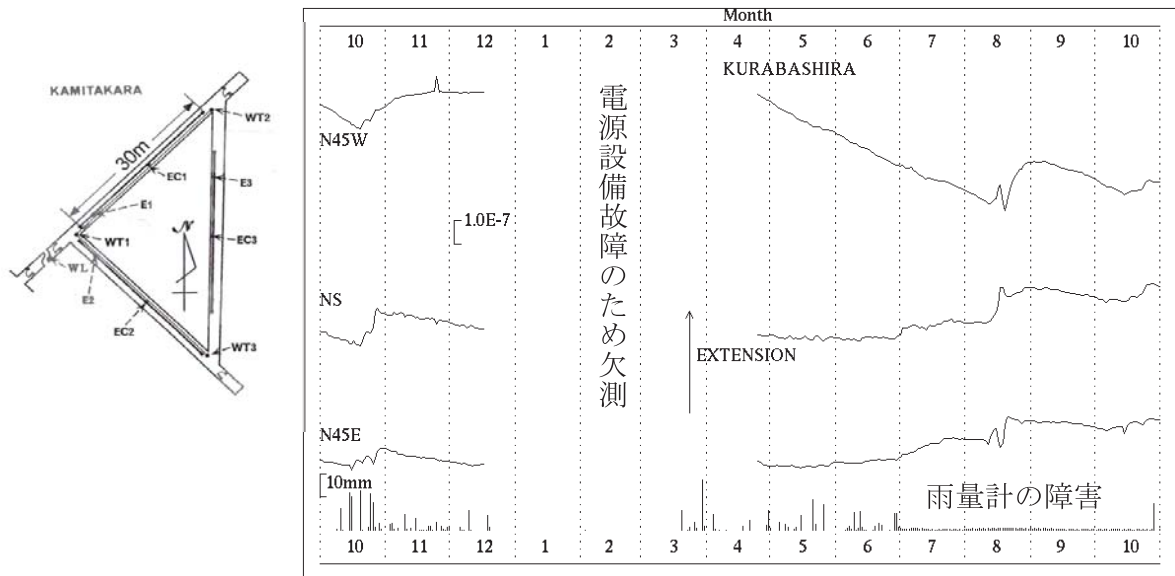
近畿・北陸地方および日向灘地殻活動総合観測線の主要点の坑道内歪観測結果の最近 1 年分を示す。長期的な 2003 年以降のトレンド変化も継続しており，近畿主要点については，1999 年以来現在までの記録も併せて示す。

地殻活動総合観測線最近1年/近畿の10年の観測結果

京都大学防災研究所附属地震予知研究センター

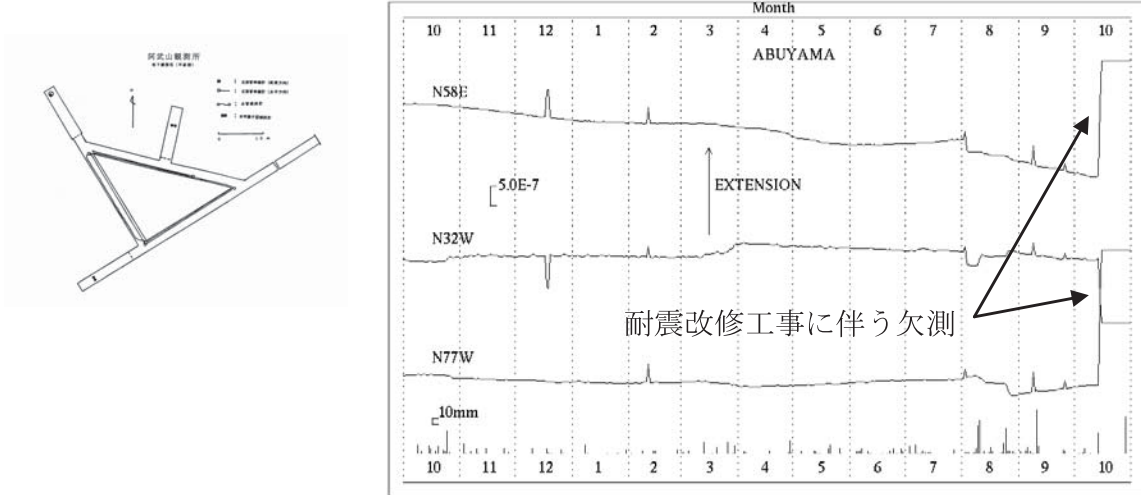


第1図 観測点配置
Fig.1 Location map of observatories.

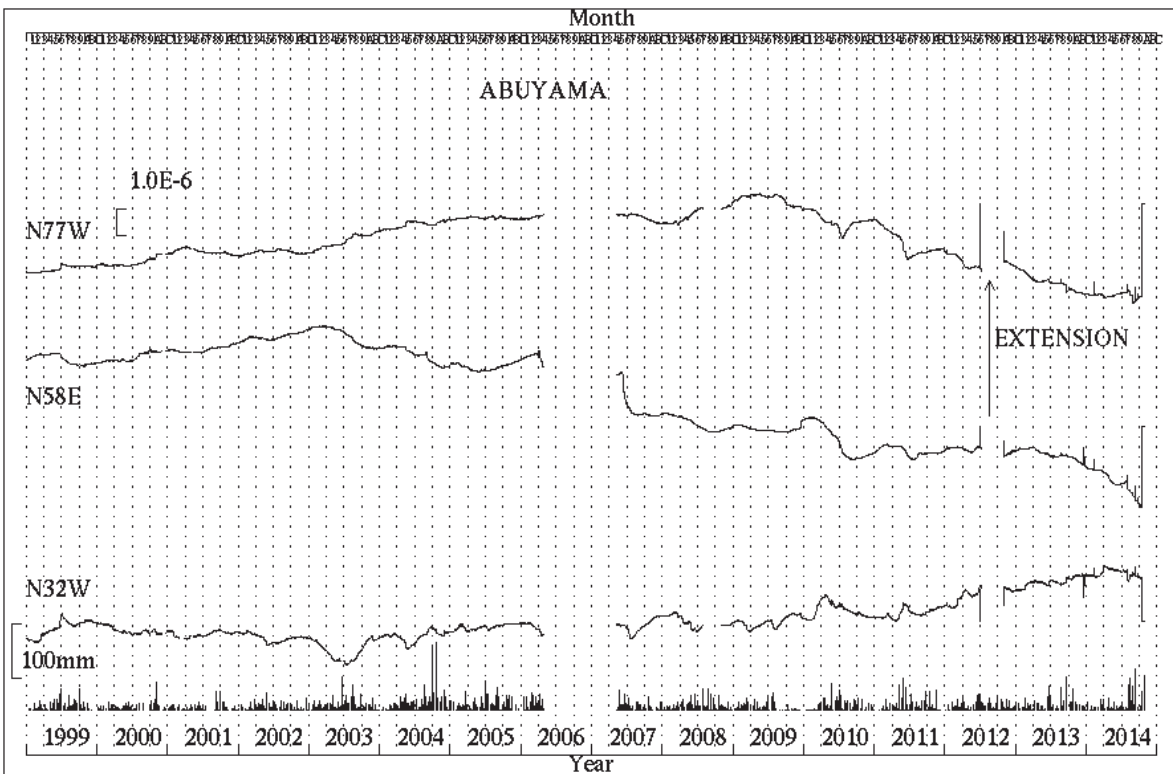


第2図 今津観測点における(上) 2011年11月～2014年10月, (下)2014年5月～2014年10月のひずみ・傾斜変化(時間値). 毎年冬のひずみ・水位変化は, 観測点付近の融雪のための地下水汲み上げに伴うもの.

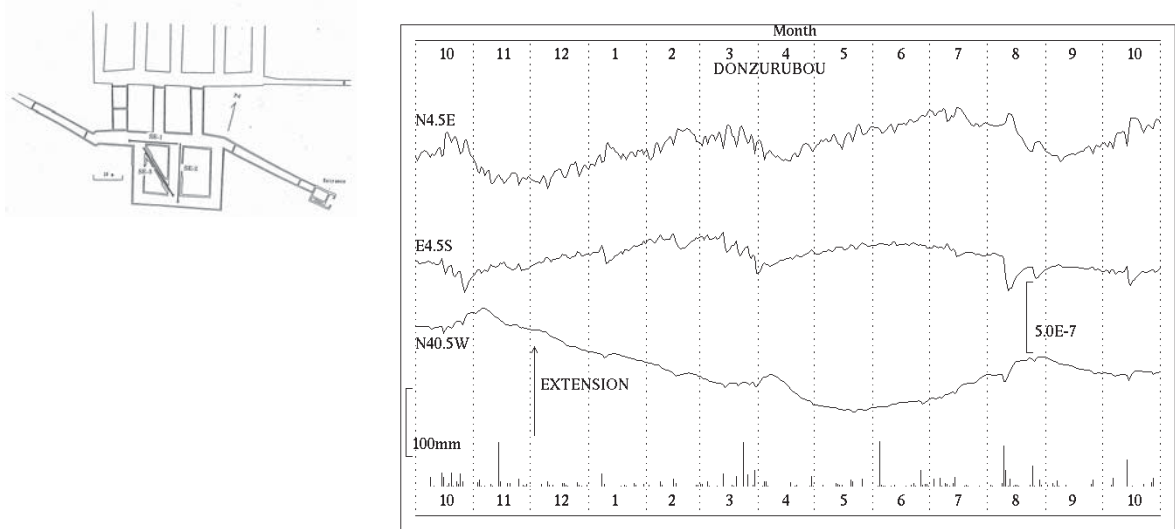
Fig.2 (Upper) Changes in crustal strain and tilt at Imazu from May 2011 to April 2014. (Lower) Changes in the same values from November 2013 to April 2014. The changes in strain and water level every winter were caused by the pumping of groundwater to melt snow near the station.



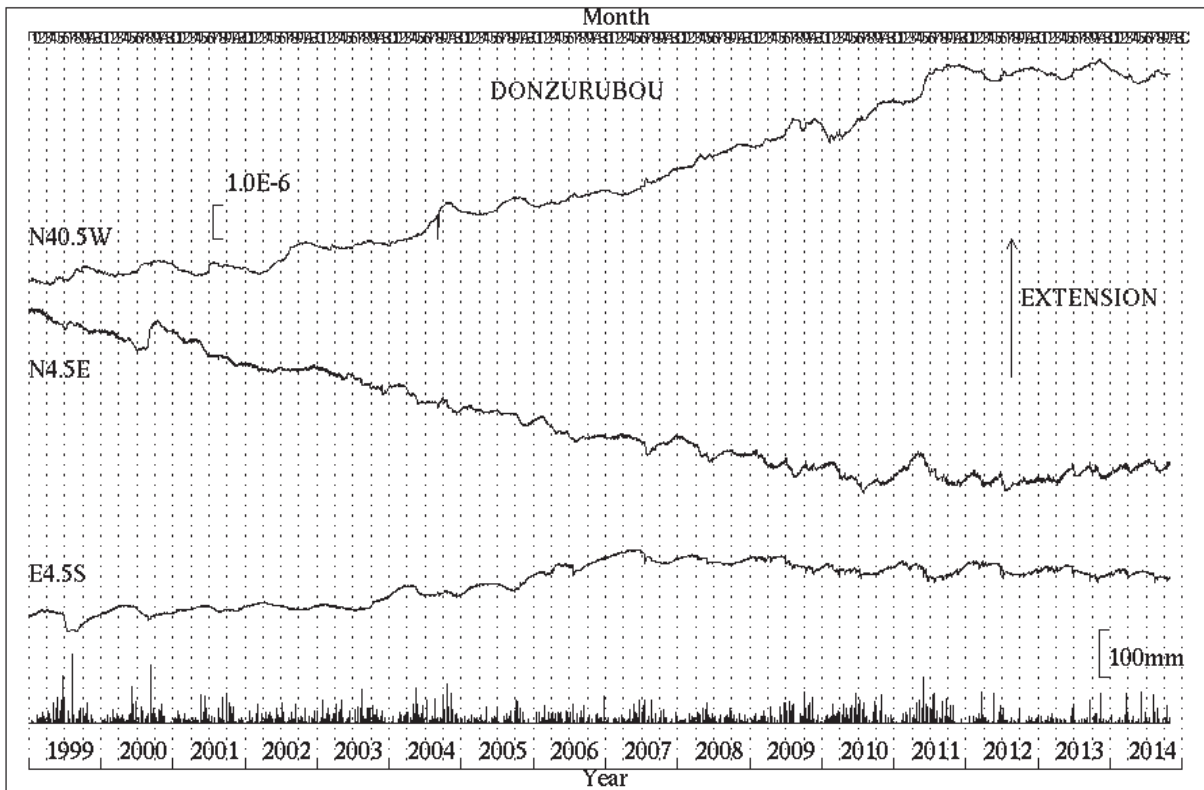
第3図a 阿武山観測所における歪変化と日雨量（2013年10月～2014年10月）
 Fig.3a Strain changes and daily precipitation at Abuyama observatory.
 (Oct.01,2013～Oct.31,2014).



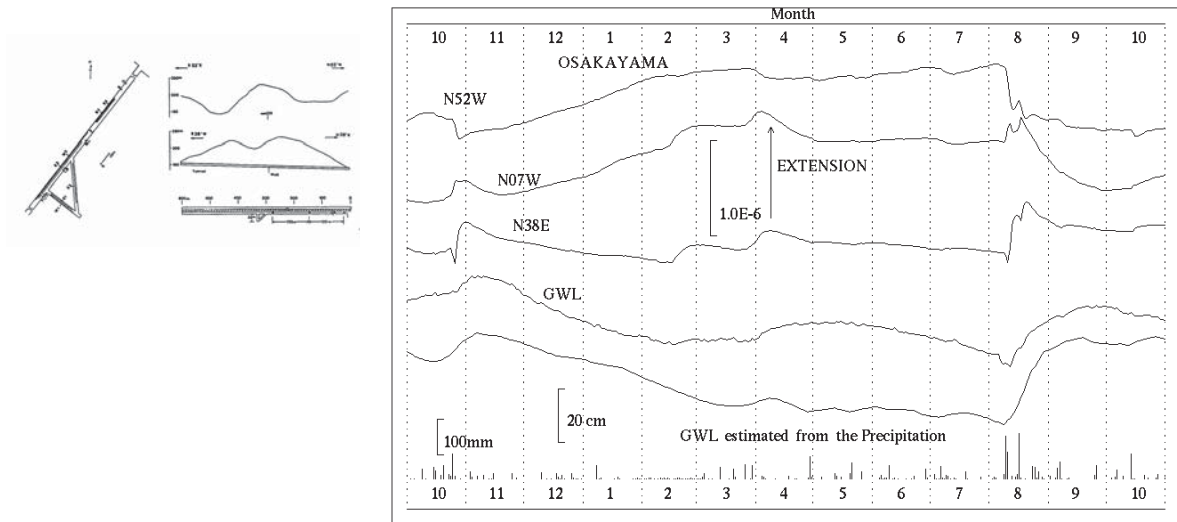
第3図b 阿武山観測所における歪変化と日雨量（1999年1月～2014年10月）
 Fig.3b Strain changes and daily precipitation at Abuyama observatory.
 (Jan. 1,1999 ～ Oct.31,2014).



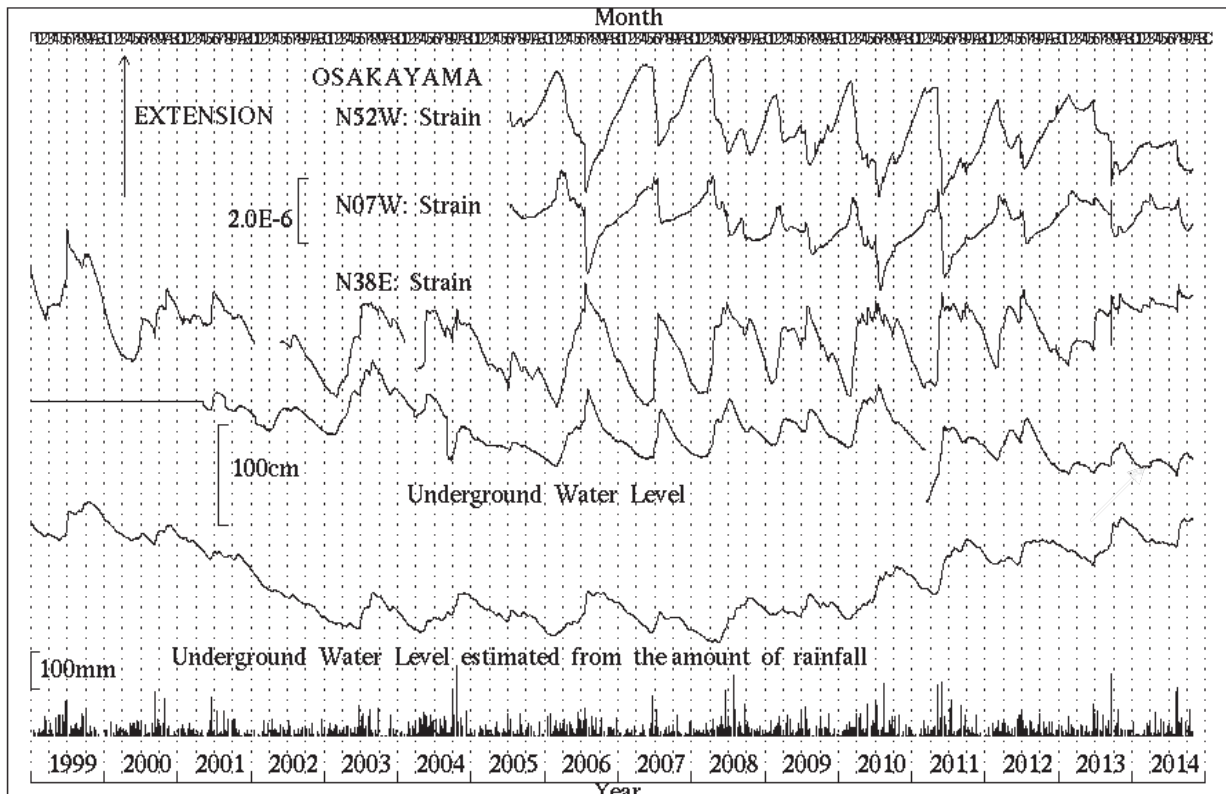
第4図a 屯鶴峯観測所における歪変化と日雨量（2013年10月～2014年10月）
 Fig.4a Strain changes and daily precipitation at Donzurubo observatory.
 (Oct.01,2013～Oct.31,2014).



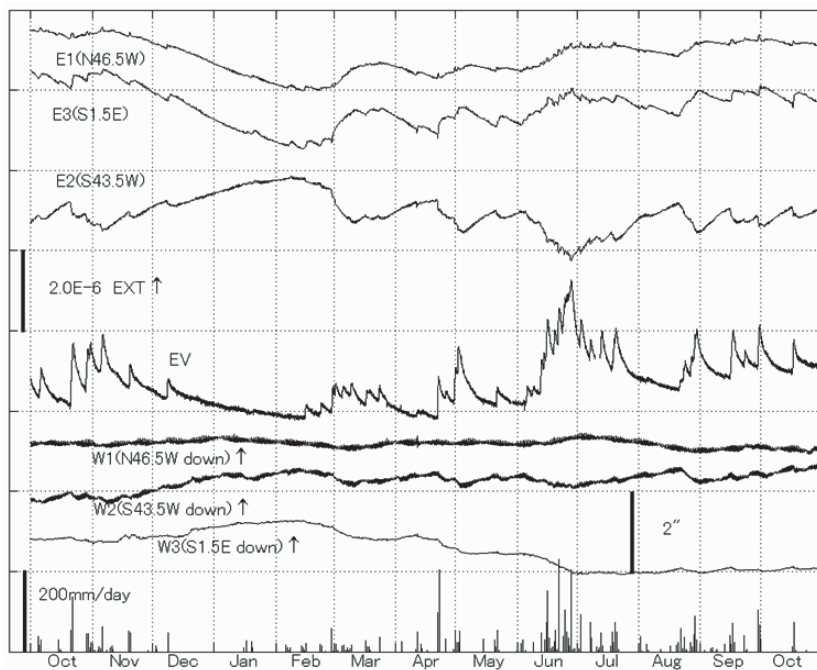
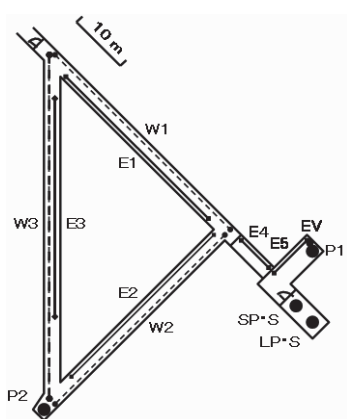
第4図b 屯鶴峯観測所における歪変化と日雨量（1999年1月～2014年10月）
 Fig.4b Strain changes and daily precipitation at Donzurubo observatory.
 (Jan. 1,1999 ～ Oct.31.2014).



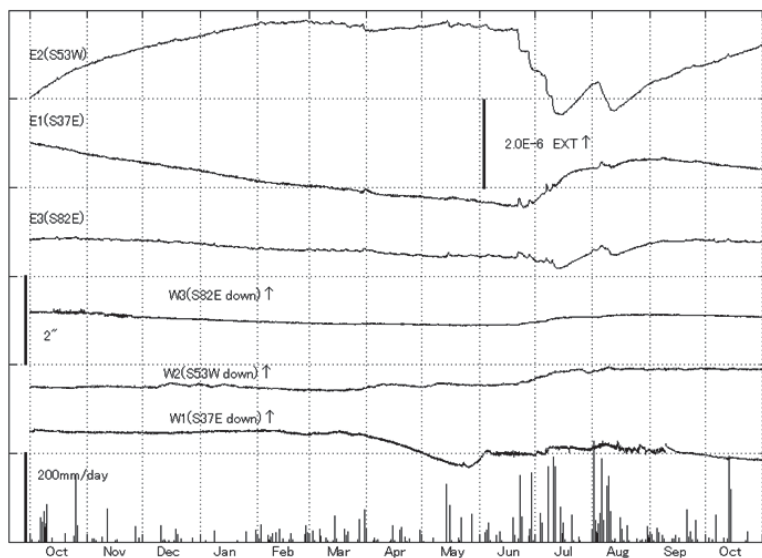
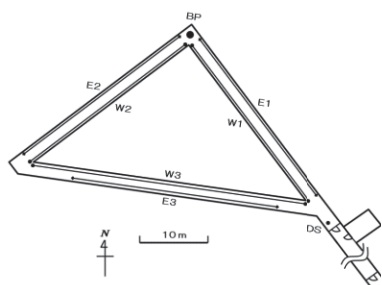
第5図a 逢坂山観測所における歪変化と日雨量（2013年10月～2014年10月）
 Fig.5a Strain change, underground water level and daily precipitation at Osakayama observatory.
 (Oct.01,2013～Oct.31,2014).



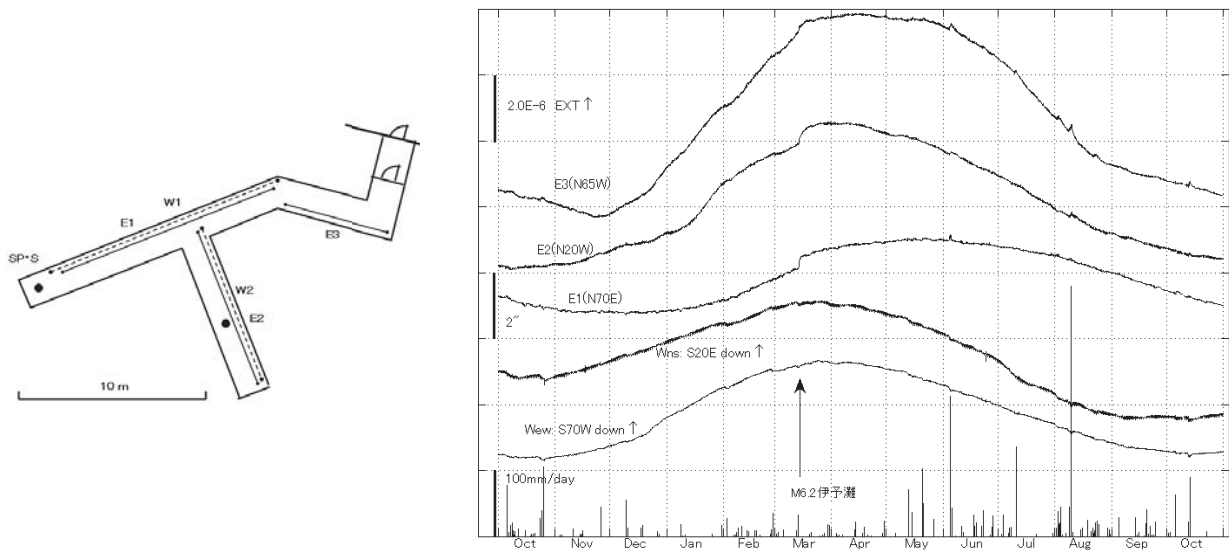
第5図b 逢坂山観測所における歪変化と日雨量（1999年1月～2014年10月）
 Fig.5b Strain change, underground water level, daily precipitation and estimated underground water level
 from precipitation at Osakayama observatory.
 (Jan. 1,1999 ～ Oct.31,2014).



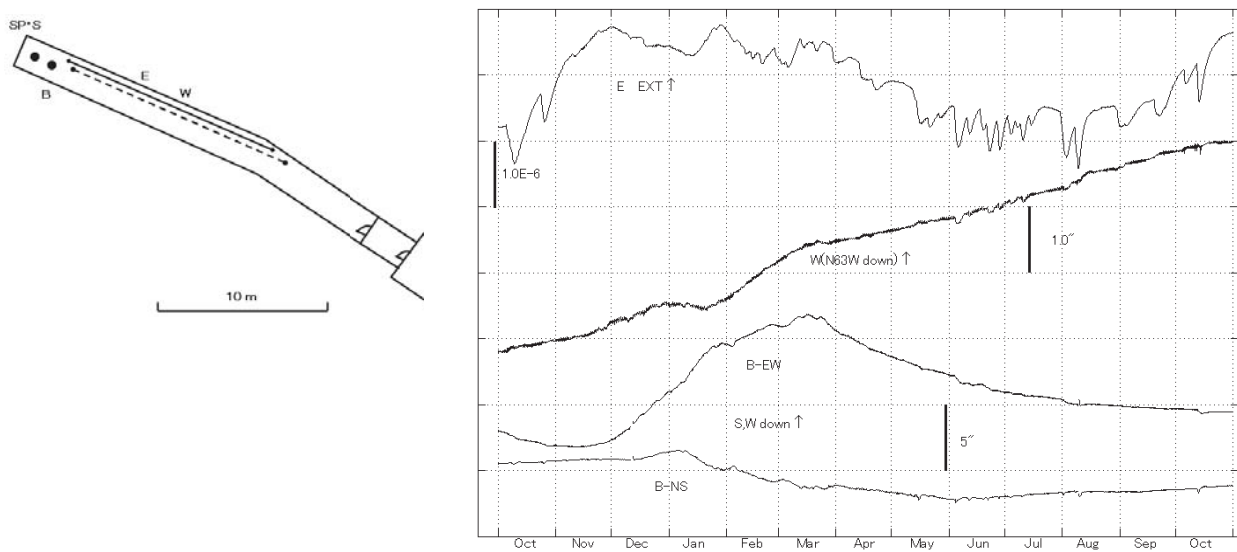
第6図 宮崎観測所における歪・傾斜変化と日雨量（2013年10月～2014年10月）
 Fig. 6 Strain changes, tilt changes and daily precipitation at Miyazaki observatory.
 (Oct. 01, 2013～Oct. 31, 2014).



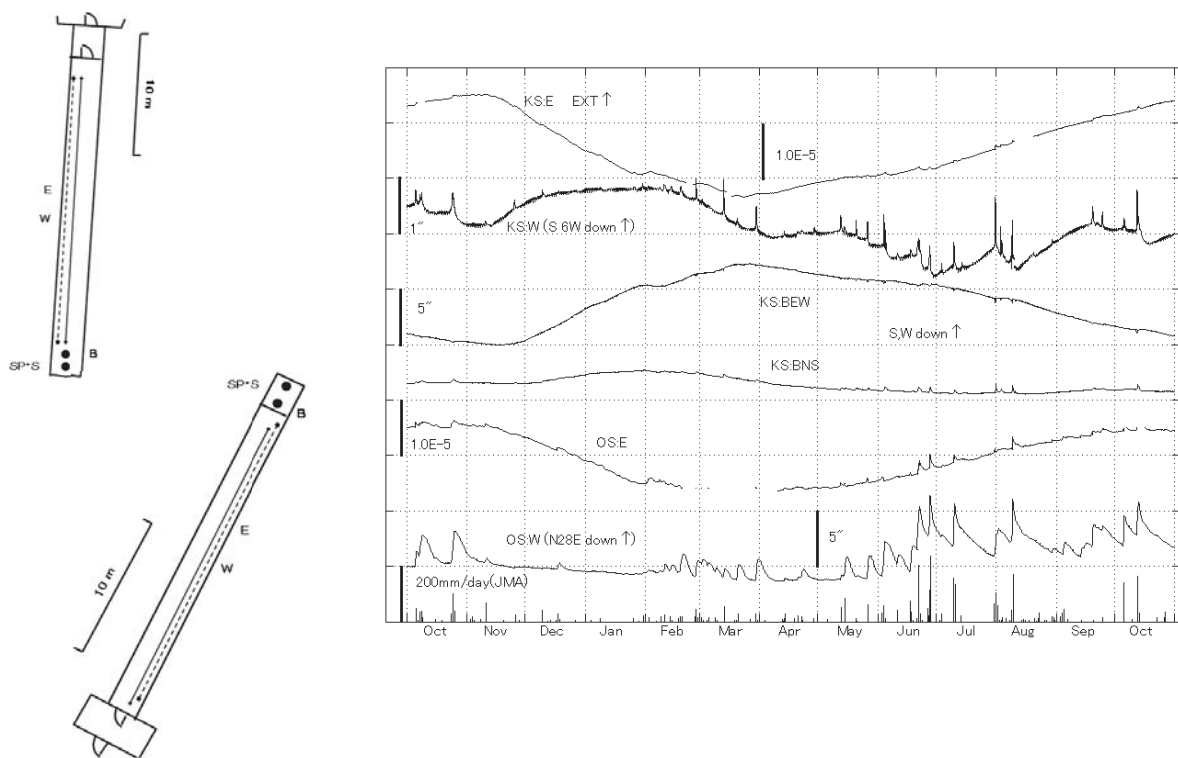
第7図 伊佐観測所における歪・傾斜変化と日雨量（2013年10月～2014年10月）
 Fig.7 Strain changes, tilt changes and daily precipitation at Isa station.
 (Oct. 01, 2013～Oct. 31, 2014).



第8図 宿毛観測所における歪変化と日雨量（2013年10月～2014年10月）
 Fig.8 Strain changes, tilt changes and daily precipitation at Sukumo station.
 (Oct.01, 2013～Oct.31, 2014).



第9図 高城観測所における歪変化と傾斜変化（2013年10月～2014年10月）
 Fig.10 Strain changes and tilt changes at Takajo station.
 (Oct.01, 2013～Oct.31, 2014).



第10図 串間・大隈観測所における歪・傾斜変化（2013年10月～2014年10月）

Fig.10 Strain changes and tilt changes at Kushima, and Ohsumi station.

Lowest bar graph is daily precipitation at Tashiro, nearest station by JMA.

(Oct. 01,2013～Oct. 31,2014).